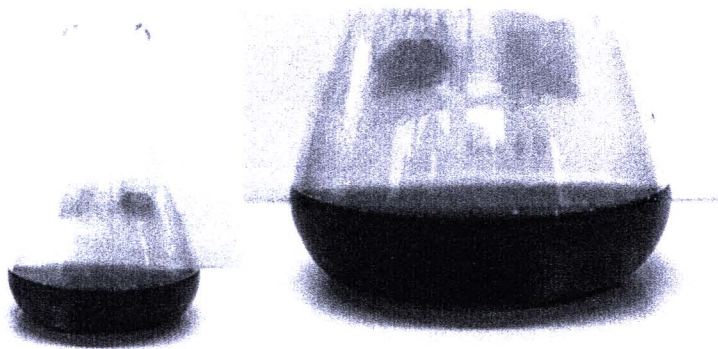


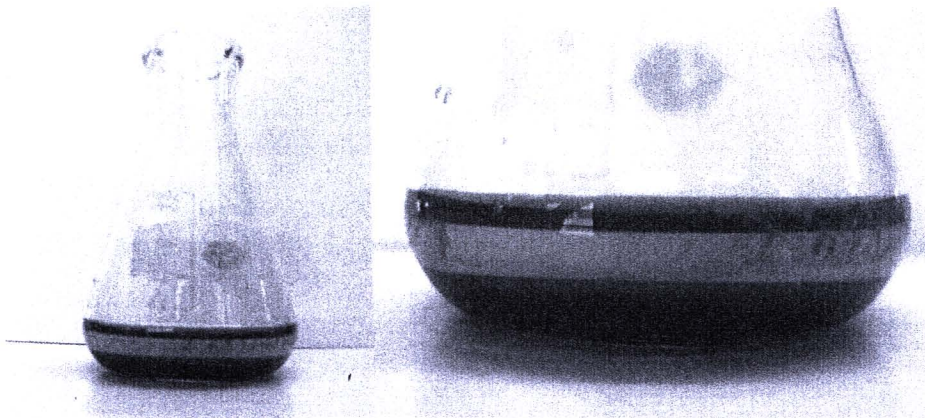
## บทที่ 4 ผลการทดลอง

### 4.1 การสังเคราะห์อนุภาคฟลูออเรสเซนต์ซิลิกาโน

การสังเคราะห์อนุภาคฟลูออเรสเซนต์ซิลิกาโน (FDS-NPs) โดยวิธีไมโครอิมัลชันชนิดน้ำในน้ำมัน ร่วมกับเทคนิคโซลเจล โดยใช้วิธีการสังเคราะห์ของ รัชฎภัค สุวรรณชาติ (2551) จากการทดลองพบว่า ปัจจัยที่ประกอบด้วย cyclohexane, n-Hexanol, Triton X-100, 20 mM RuBpy dye solution, TEOS และ  $\text{NH}_4\text{OH}$  ( $\text{NH}_3$ , 30; wt%) ที่ใช้ในการสังเคราะห์อนุภาค FDS-NPs ในระบบไมโครอิมัลชันชนิดน้ำ ในน้ำมัน มีลักษณะเป็นสารสีส้มใสสามารถมองทะลุผ่านได้ และมีความเสถียร คือสามารถคงความเป็นไมโครอิมัลชันได้นานในระบบปิด หลังจากการเติมอะซิโตน (Acetone) เพื่อหยุดปฏิกิริยาทั้งหมด ในระบบไมโครอิมัลชัน พบว่าในระบบอิมัลชันที่เสถียร จะเกิดการตกตะกอนของอนุภาค FDS-NPs มีลักษณะคล้ายเจลสีส้ม (รูปที่ 4.2)

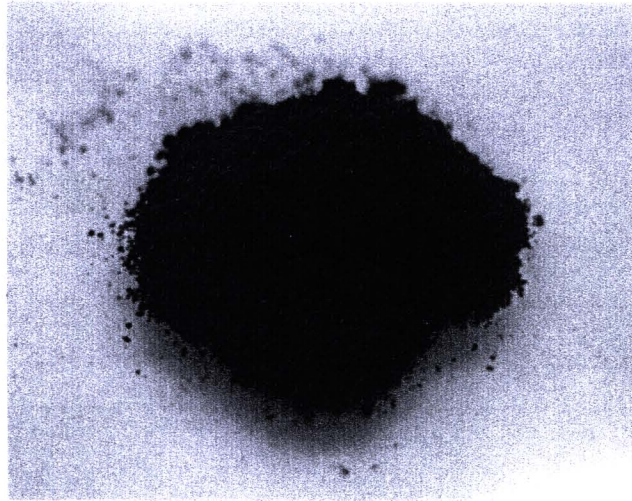


รูปที่ 4.1 การสังเคราะห์อนุภาค FDS-NPs ด้วยวิธีไมโครอิมัลชันชนิดน้ำในน้ำมัน



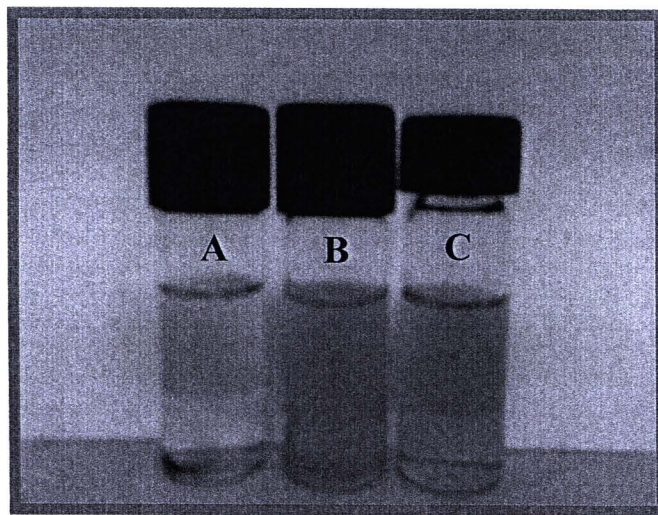
รูปที่ 4.2 อนุภาค FDS-NPs เกิดการตกตะกอนเมื่อเติมอะซิโตน

การปั่นเหวี่ยงตกตะกอน และล้างอนุภาค FDS-NPs เพื่อกำจัดสารลดแรงตึงผิว และสีส่วนเกินที่ไม่ทำปฏิกิริยาออก ปล่อยให้แห้งที่อุณหภูมิห้อง 1 วัน หรือนำไปอบที่อุณหภูมิ  $120^\circ\text{C}$  เป็นเวลา 2 ชั่วโมง บดให้ละเอียดโดยใช้แท่งแก้ว พบว่าอนุภาค FDS-NPs มีลักษณะเป็นผงสีส้มละเอียด (รูปที่ 4.3)



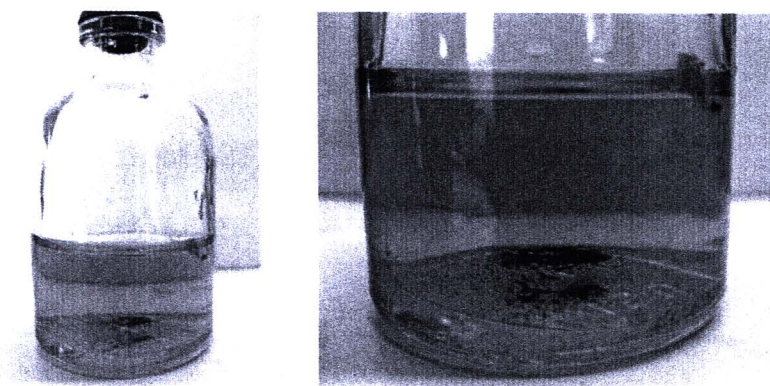
รูปที่ 4.3 อนุภาค FDS-NPs มีลักษณะเป็นผงสีส้มละเอียด

อนุภาค FDS-NPs ก่อนนำไปวิเคราะห์ นำไปละลายใน 95% Ethanol และทำให้กระจายตัวออกจากกัน (Disperse) โดยใช้เครื่อง Ultrasonic probe จะได้อนุภาค FDS-NPs ที่มีความเสถียร กระจายตัวอยู่ใน 95% Ethanol อย่างคงตัว สามารถนำไปวิเคราะห์คุณสมบัติต่างๆของอนุภาค FDS-NPs (ดังรูปที่ 4.4)



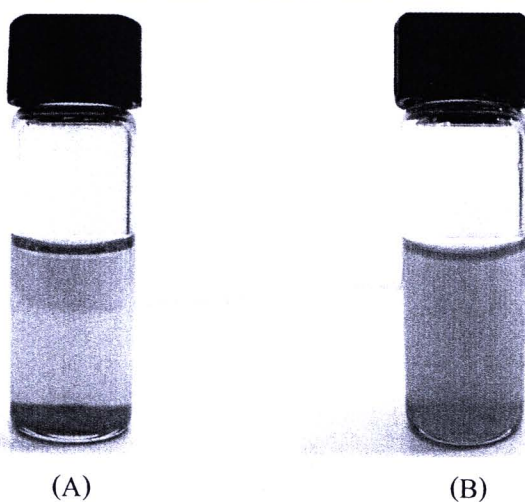
รูปที่ 4.4 อนุภาค FDS-NPs ก่อน (A) และหลัง (B, C) ที่กระจายตัวใน 95% Ethanol

หลังจากนั้นนำอนุภาค FDS-NPs ทำการตัดแปลงพื้นที่ผิวเพื่อให้เกิดหมู่ฟังก์ชันเอมีน, หมู่คาร์บอกซิล หลังจากขั้นตอนการเติมไนโตรเจน (รูปที่ 4.5)



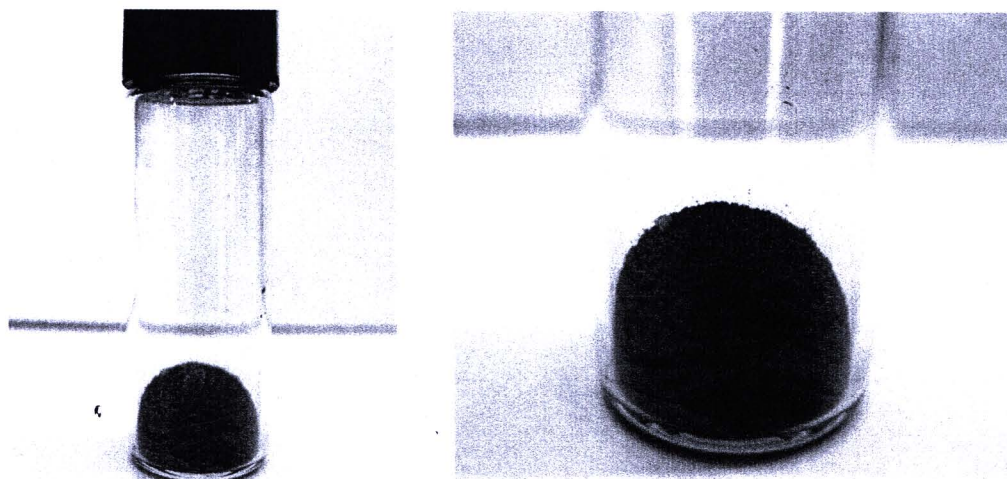
รูปที่ 4.5 อนุภาค FDS-NPs หลังจากเติมก๊าซไนโตรเจน

ทำการล้างอนุภาค FDS-NPs ด้วยน้ำ Deionized และเก็บในสารละลาย MES buffer เพื่อนำไปตรวจวิเคราะห์ขนาด และการกระจายตัวภายใต้กล้อง TEM และตรวจวิเคราะห์ค่า Zeta potential (รูปที่ 4.6)



รูปที่ 4.6 การเก็บอนุภาค FDS-NPs ในบับเฟอร์ก่อนการนำไปตรวจวิเคราะห์ (A) ก่อน และ (B) หลัง ทำให้กระจายใน MES buffer

นำอนุภาค FDS-NPs ไปทำแห้งอีกครั้ง โดยการปั่นเหวี่ยง เพื่อให้ได้อนุภาค FDS-NPs ที่เป็นผงและนำไปตรวจวิเคราะห์โครงสร้าง, วิเคราะห์หมู่ฟังก์ชันและวิเคราะห์ธาตุ (รูปที่ 4.7)

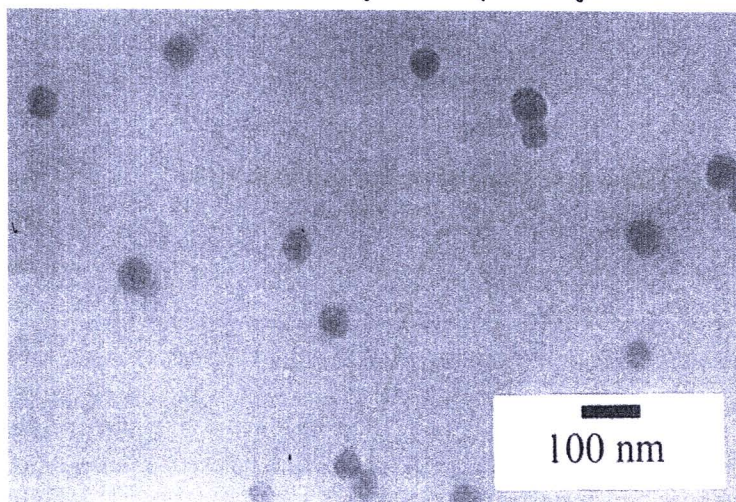


รูปที่ 4.7 อนุภาคแห้งก่อนนำไปตรวจวิเคราะห์สมบัติของอนุภาค

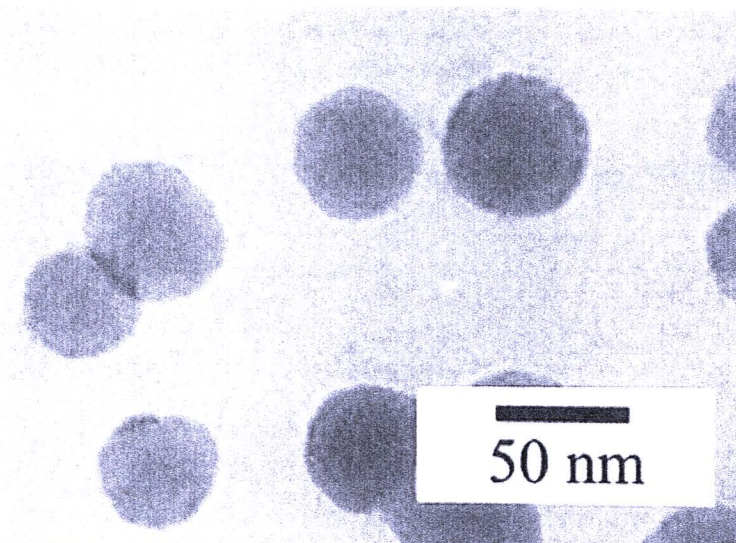
## 4.2 การวิเคราะห์อนุภาคฟลูออเรสเซนต์ซิลิกาโนในด้านต่างๆ

### 4.2.1 การวิเคราะห์รูปร่างและขนาดของอนุภาคฟลูออเรสเซนต์ซิลิกาโน

ผลการวิเคราะห์รูปร่างและขนาดของอนุภาค FDS-NPs โดยใช้วิธีการสังเคราะห์แบบไมโครอิมัลชันร่วมกับเทคนิคโซลเจล เมื่อนำอนุภาค FDS-NPs ไปส่องดูลักษณะอนุภาคกับเครื่อง TEM ที่กำลังขยาย 60,000x และ 100,000x พบว่าลักษณะอนุภาค FDS-NPs มีการกระจายตัวดี เป็นทรงกลม มีขนาดของอนุภาคสม่ำเสมอ และมีสี Rubpy dye แทรกอยู่ในอนุภาค ดังรูปที่ 4.8-4.9



รูปที่ 4.8 อนุภาค FDS-NPs ภายใต้อุปกรณ์ TEM ที่กำลังขยาย 60,000x



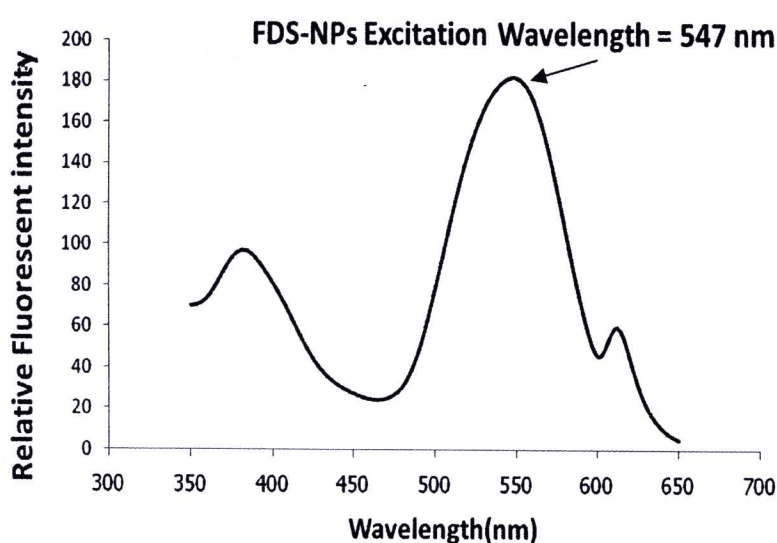
รูปที่ 4.9 อนุภาค FDS-NPs ภายใต้อุปกรณ์ TEM ที่กำลังขยาย 100,000x

ผลการวิเคราะห์ค่าการกระจายตัวของอนุภาค FDS-NPs และขนาดของอนุภาค FDS-NP โดยใช้ปัจจัยที่ประกอบด้วย cyclohexane, n-Hexanol, Triton X-100, 20 mM RuBpy dye solution, TEOS และ  $\text{NH}_4\text{OH}$  ( $\text{NH}_3$  30 ; wt%) ในการสังเคราะห์อนุภาค FDS-NPs พบว่าการกระจายตัวของเส้นผ่าน

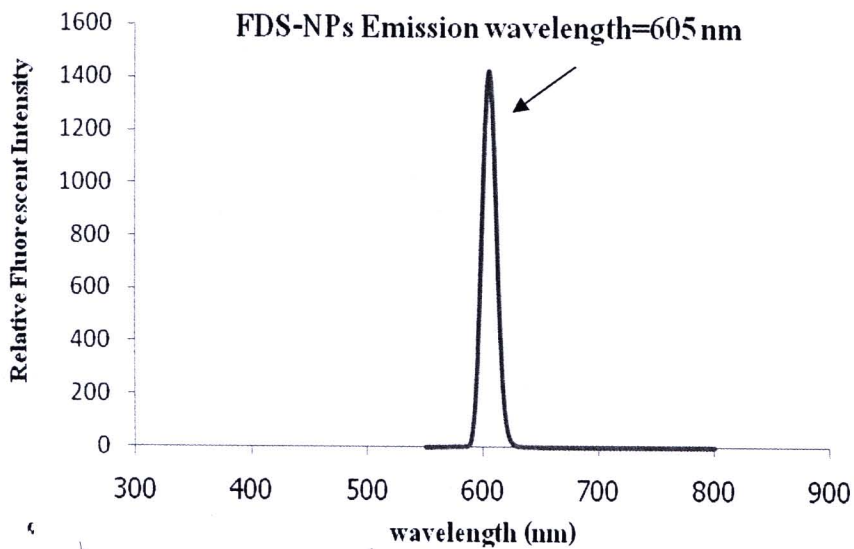
ศูนย์กลางของอนุภาค FDS-NPs อยู่ในช่วง 38 nm ถึง 47 nm ค่าเฉลี่ยขนาดของเส้นผ่านศูนย์กลางของอนุภาค FDS-NPs มีขนาดเฉลี่ยเท่ากับ  $43 \pm 2$  nm

#### 4.2.2 ผลความยาวคลื่นที่ใช้ในการกระตุ้น และความยาวช่วงคลื่นที่ใช้ในการเรืองแสง

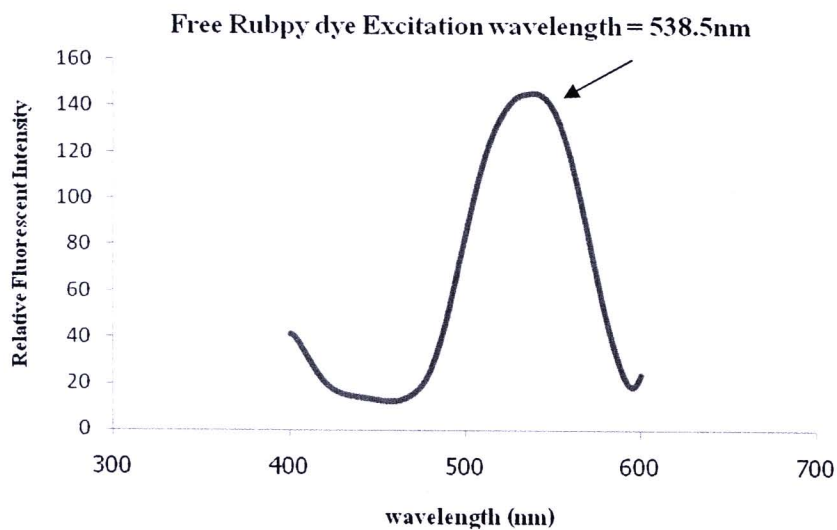
การตรวจวิเคราะห์ความยาวคลื่นที่ใช้ในการกระตุ้น (Excitation wavelength) และความยาวคลื่นที่ใช้ในการเรืองแสง (Emission wavelength) ของอนุภาค FDS-NPs พบว่ามีค่าเท่ากับ 547 nm และ 605 nm ตามลำดับ Free Rubpy dye ที่มีค่าเท่ากับ 538.5 nm และ 595.5 nm ซึ่งมีค่าคลาดเคลื่อนไปเพียง 8.5 nm และ 9.5 nm ตามลำดับ (รูปที่ 4.10-4.13)



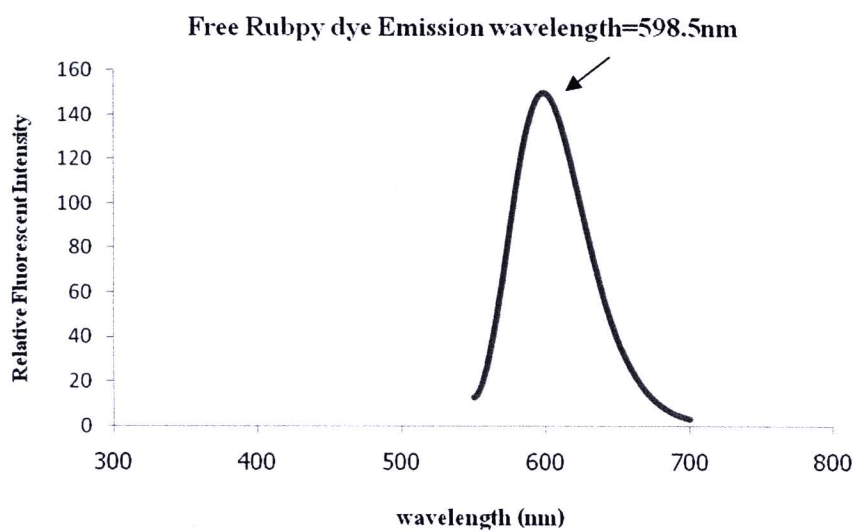
รูปที่ 4.10 ความยาวคลื่นที่ใช้ในการกระตุ้น (Excitation wavelength) ของอนุภาค FDS-PNs



รูปที่ 4.11 ความยาวคลื่นที่มีการเรืองแสง (Emission wavelength) ของอนุภาค FDS-NPs



รูปที่ 4.12 ความยาวคลื่นที่ใช้ในการกระตุ้น (Excitation wavelength) ของ Free Rubpy dye

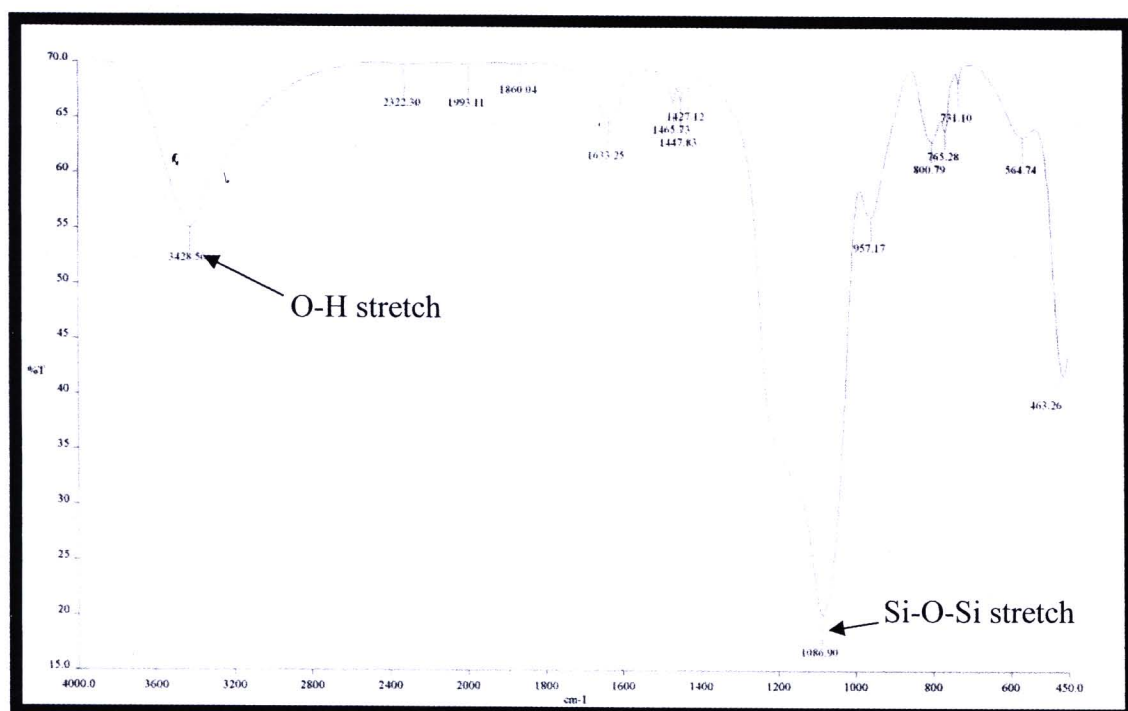


รูปที่ 4.13 ความยาวคลื่นที่ใช้ในการกระตุ้น (Emission wavelength) ของ Free Rubpy dye

### 4.3 การดัดแปลงหมู่ฟังก์ชันบนพื้นผิวของอนุภาคฟลูออเรสเซนที่ซิลิกานาโน

#### 4.3.1 อนุภาคฟลูออเรสเซนที่ซิลิกานาโนก่อนดัดแปลงพันธะเคมี

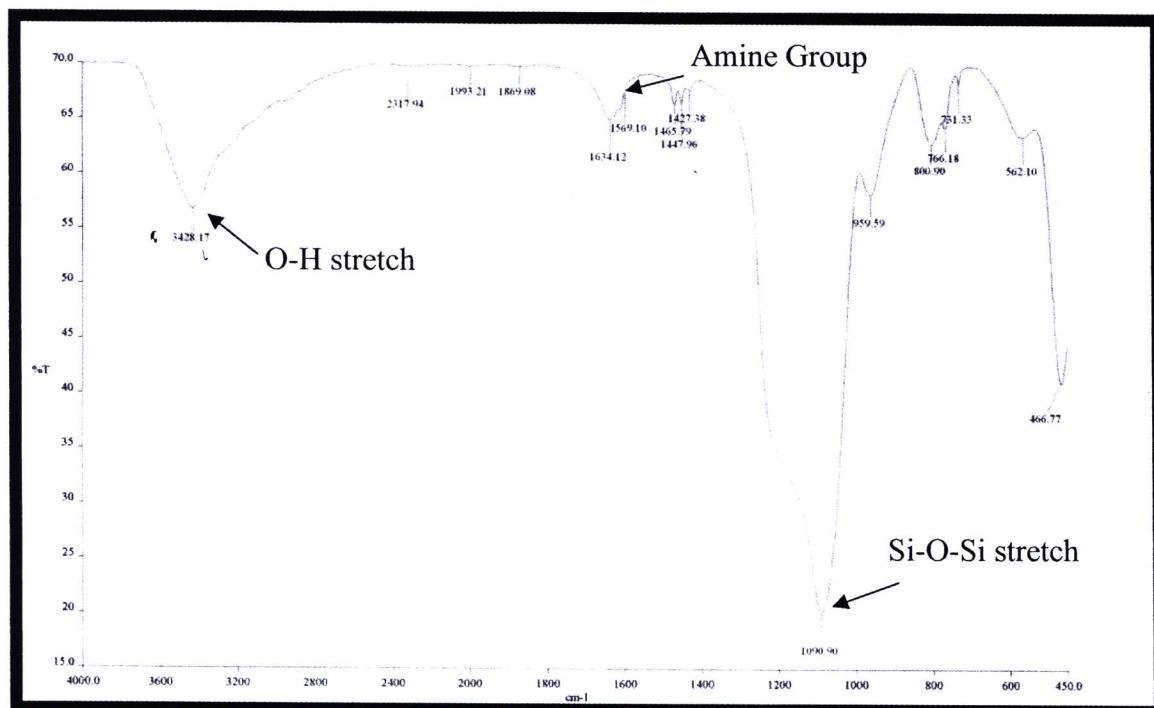
เมื่อนำอนุภาค FDS-NPs ที่สังเคราะห์ได้ และยังไม่ผ่านการดัดแปลงพันธะเคมีที่ผิวของอนุภาค มาวิเคราะห์หมู่ฟังก์ชันด้วยเครื่อง FTIR พบว่าประกอบไปด้วยหมู่ไฮดรอกซิล (O-H) ที่ความยาวคลื่นประมาณ  $3,600-3,200\text{ cm}^{-1}$  และหมู่ซิลิกา (Si-O-Si) ที่ความยาวคลื่น  $1,086.90\text{ cm}^{-1}$  ซึ่งแสดงถึงโครงสร้างของซิลิกา (รูปที่ 4.14) (ชัยภัค สุวรรณชาติ, 2551)



รูปที่ 4.14 FTIR spectrum ของอนุภาค FDS-NPs ก่อนดัดแปลงพันธะเคมีที่ผิวอนุภาค

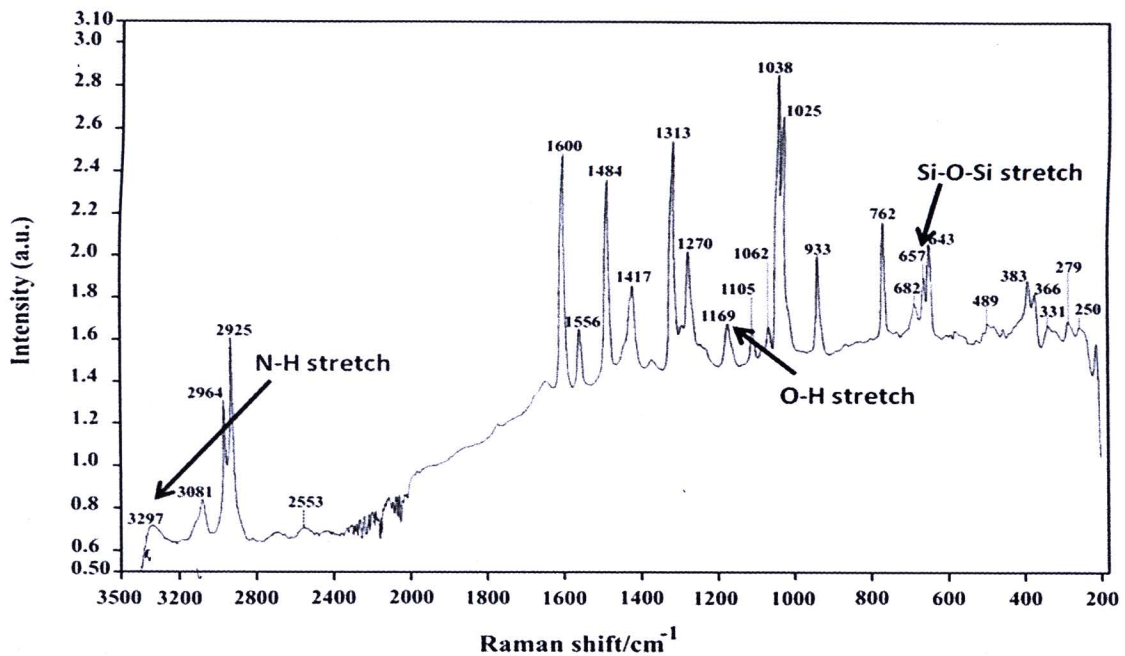
### 4.3.2 อนุภาคฟลูออเรสเซนซ์ซิลิกานาโนที่ดัดแปลงให้เกิดหมู่เอมีน

ผลการวิเคราะห์ฟังก์ชันของอนุภาค FDS-NPs หลังจากดัดแปลงหมู่พันธะเคมีที่ผิวของอนุภาค FDS-NPs ด้วย Trimethoxysilyl-propyldiethylenetriamine (DETA) (รูปที่ 4.15) ซึ่งจะสามารถเปรียบเทียบกับสเปกตรัมของอนุภาค FDS-NPs ที่ยังไม่ได้ดัดแปลงพันธะเคมีใดๆ พบว่ามีความแตกต่างของสเปกตรัมตรงบริเวณความยาวคลื่น  $1,569.10\text{ cm}^{-1}$  ซึ่งเป็นตำแหน่งของหมู่เอมีน



รูปที่ 4.15 FTIR spectrum ของอนุภาค FDS-NPs หลังดัดแปลงพันธะเคมีที่ผิวอนุภาคให้เกิดหมู่เอมีน

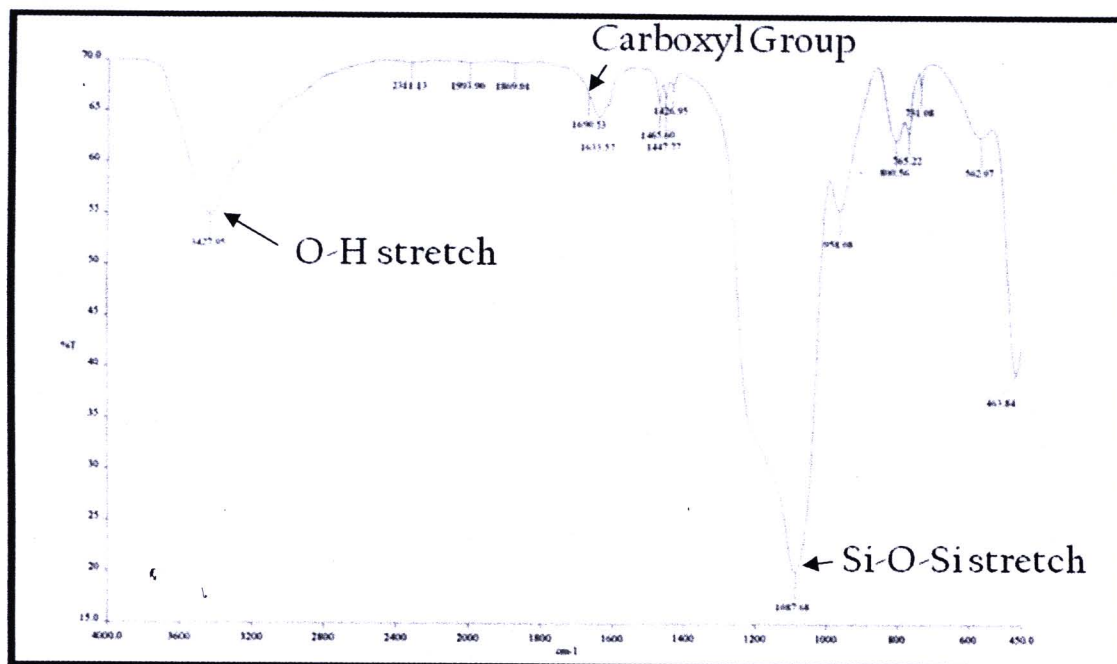
แต่ผลการทดลองดังกล่าวปรากฏ N-H stretch (Amine group) การตรวจวิเคราะห์ของเครื่อง FTIR spectrometer ไม่ชัดเจนจึงทำการตรวจวิเคราะห์ด้วยเครื่อง FT-Raman spectrometer (รูปที่ 4.16) เพื่อให้พบหมู่ N-H stretch (Amine group) ชัดเจนมากขึ้น โดยพบหมู่ไฮดรอกซิล (O-H) ที่  $1,150-1,170\text{ cm}^{-1}$  หมู่ซิลิกา (Si-O-Si) ที่  $650\text{ cm}^{-1}$  และยังพบหมู่เอมีน (N-H stretch) ที่  $3,297.88\text{ cm}^{-1}$  ซึ่งสอดคล้องกับรายงานก่อนหน้า (Shurvell, 2008; แม่น อมรสิทธิ์ และอมร เพชรสม, 2539)



รูปที่ 4.16 FT-Raman spectrum ของอนุภาค FDS-NPs หลังดัดแปลงพันธะเคมีที่ผิวอนุภาคให้เกิดหมู่เอมีน

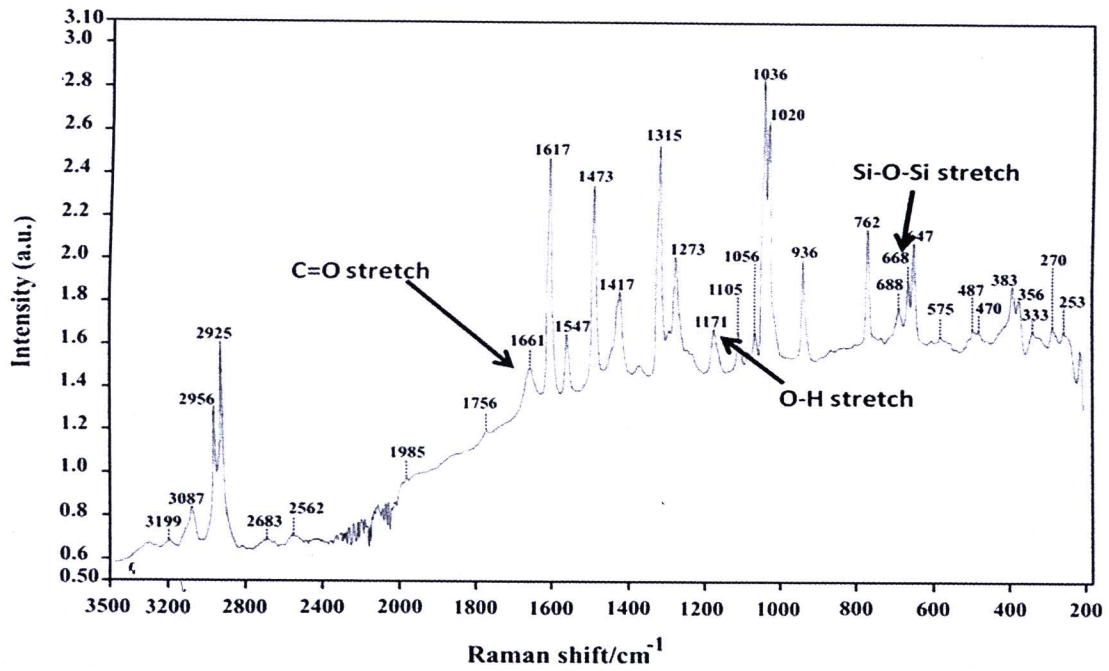
#### 4.3.3 อนุภาคฟลูออเรสเซนต์ซิลิกานาโนที่ดัดแปลงให้เกิดหมู่คาร์บอกซิล

จากการวิเคราะห์อนุภาค FDS-NPs หลังจากดัดแปลงพันธะเคมีที่ผิวของอนุภาค FDS-NPs ด้วย Trimethoxysilyl-propyldiethylenetriamine (DETA) เพื่อเป็นการกระตุ้นหมู่เอมีนก่อน หลังจากนั้นใช้ Succinic anhydride เพื่อทำให้เกิดหมู่คาร์บอกซิลขึ้นแทนที่หมู่เอมีน (รูป 4.17) พบว่าสเปกตรัมที่แสดง มีความแตกต่างออกไป อนุภาค FDS-NPs ที่ยังไม่ดัดแปลงหมู่พันธะเคมี (รูปที่ 4.14) พบพิกัดเกิดขึ้นที่ ความยาวช่วงคลื่น  $1,690.53 \text{ cm}^{-1}$  ซึ่งเป็นพิกัดแสดงพันธะเคมีของหมู่คาร์บอกซิลิก (Carboxyl Group) แสดงว่าสามารถติดหมู่คาร์บอกซิลที่ผิวของอนุภาค FDS-NPs ได้



รูปที่ 4.17 FTIR spectrum ของอนุภาค FDS-NPs หลังดัดแปลงพันธะเคมีที่ผิวอนุภาคให้เกิด หมู่คาร์บอกซิล

แต่ผลการทดลองดังกล่าวปรากฏ C=O stretch (Carboxyl group) ไม่ชัดเจนในการตรวจวิเคราะห์ของ เครื่อง FTIR spectrometer จึงทำการตรวจวิเคราะห์ด้วยเครื่อง FT-Raman spectrometer (รูปที่ 4.18) เพื่อให้พบหมู่ C=O stretch (Carboxyl group) ชัดเจนมากขึ้น ผลปรากฏว่าพบ หมู่ไฮดรอกซิล (O-H) ที่ 1,150-1,170  $\text{cm}^{-1}$  หมู่ซิลิกา (Si-O-Si) ที่ 688.63  $\text{cm}^{-1}$  และยังพบหมู่คาร์บอกซิล (C=O stretch) ที่ ความยาวคลื่นประมาณ 1,617.34  $\text{cm}^{-1}$

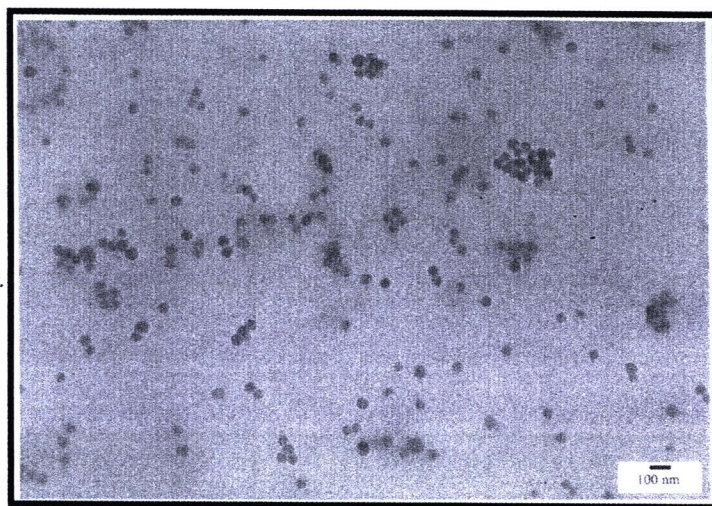


รูปที่ 4.18 FT-Raman spectrum ของอนุภาค FDS-NPs หลังตัดแปลงพันธะเคมีที่ผิวอนุภาคให้เกิด หมู่คาร์บอกซิล

#### 4.4 การเกาะกลุ่มของอนุภาคฟลูออเรสเซนต์ซิลิกา นาโน และแอนติบอดี

##### 4.4.1 การเกาะกลุ่มระหว่างอนุภาคฟลูออเรสเซนต์ซิลิกา นาโน ในการสังเคราะห์อนุภาค

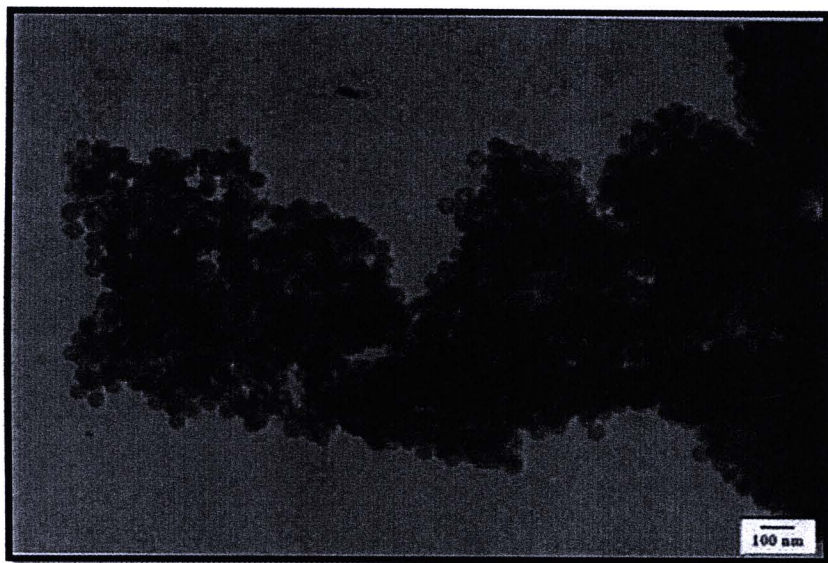
พบว่า การกระจายตัวของอนุภาค FDS-NPs ในขั้นตอนการสังเคราะห์อนุภาคนั้นมีการกระจายตัวสม่ำเสมอดี แต่พบการเกาะกลุ่มบ้าง แต่สามารถทำให้กระจายได้ด้วย sonicate probe (รูปที่ 4.19)



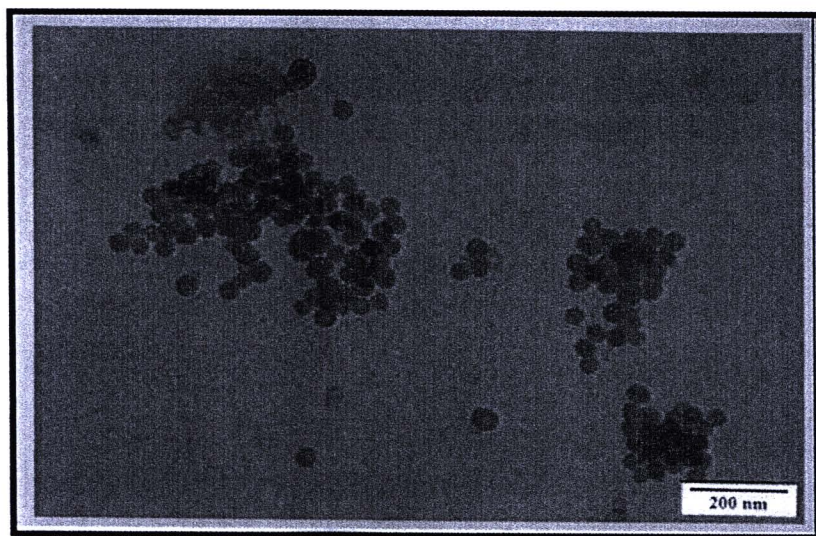
รูปที่ 4.19 แสดงการกระจายตัวของอนุภาค FDS-NPs ในกระบวนการสังเคราะห์ภายใต้กล้อง TEM ที่กำลังขยาย 60,000x

##### 4.4.2 การเกาะกลุ่มระหว่างอนุภาคฟลูออเรสเซนต์ซิลิกา นาโน ในการดัดแปลงพันธะเคมี

พบว่า หลังจากการดัดแปลงพันธะเคมีเกิดการเกาะกลุ่มของอนุภาค FDS-NPs (รูปที่ 4.20-4.21) การดัดแปลงพันธะเคมี โดยดัดแปลงให้เกิดหมู่เอมีน โดยใช้ Trimethoxysilyl-propyldiethylenetriamine (DETA) ซึ่งทำให้ผิวของอนุภาค FDS-NPs เกิดมีประจุบวกเกิดขึ้น ทำให้การเกาะตัวกันของอนุภาค FDS-NPs เกิดขึ้น เนื่องจากการเกิดประจุบวกบริเวณผิวไม่สม่ำเสมอ จึงทำให้ยังมีประจุลบของอนุภาค FDS-NPs หลงเหลือจึงเกิดการเกาะตัวกันระหว่างอนุภาคด้วยพันธะไอออนิก (Ionic bond)



รูปที่ 4.20 การกระจายตัวของอนุภาค FDS-NPs ในกระบวนการตัดแปลงหมู่เอมีนภายใต้กล้อง TEM ที่กำลังขยาย 60,000x

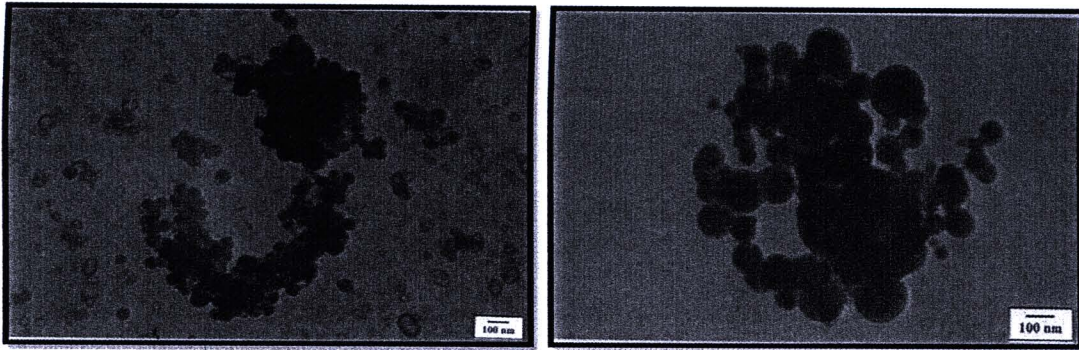


รูปที่ 4.21 การกระจายตัวของอนุภาค FDS-NPs ในกระบวนการตัดแปลงหมู่คาร์บอกซิลภายใต้กล้อง TEM ที่กำลังขยาย 40,000x

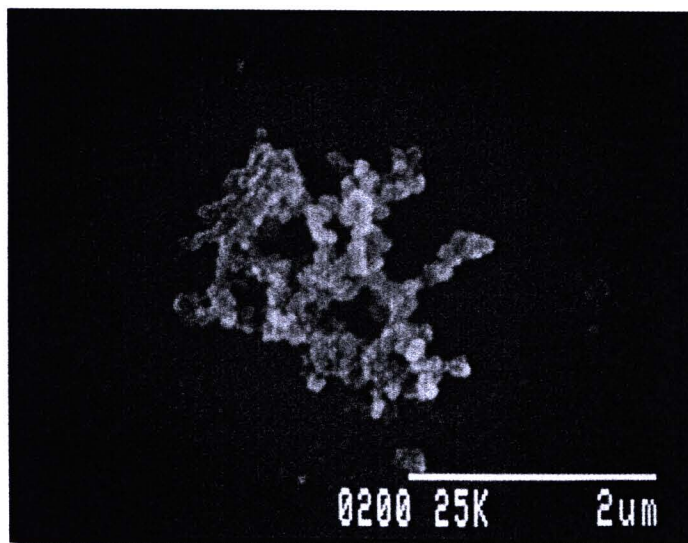
หลังจากผ่านการตัดแปลงหมู่เอมีนยังมีกระบวนการกระจายอนุภาค FDS-NPs โดยใช้เครื่อง sonicate probe และทำการตัดแปลงหมู่คาร์บอกซิลโดยใช้ Succinic anhydride ซึ่งทำให้บริเวณผิวของอนุภาค FDS-NPs เกิดประจุลบ ซึ่งในขั้นตอนนี้ (รูปที่ 4.21)

#### 4.4.3 การเกาะกลุ่มระหว่างอนุภาคฟลูออเรสเซนต์ซิลิกาโนในการติดแอนติบอดี

พบว่าหลังจากอนุภาค FDS-NPs ติดแอนติบอดีแล้วเกิดการเกาะตัวกันระหว่างอนุภาคมีมากขึ้น โดยจะมีแอนติบอดีเคลือบอนุภาค FDS-NPs อีกชั้นหนึ่ง (รูปที่4.22)



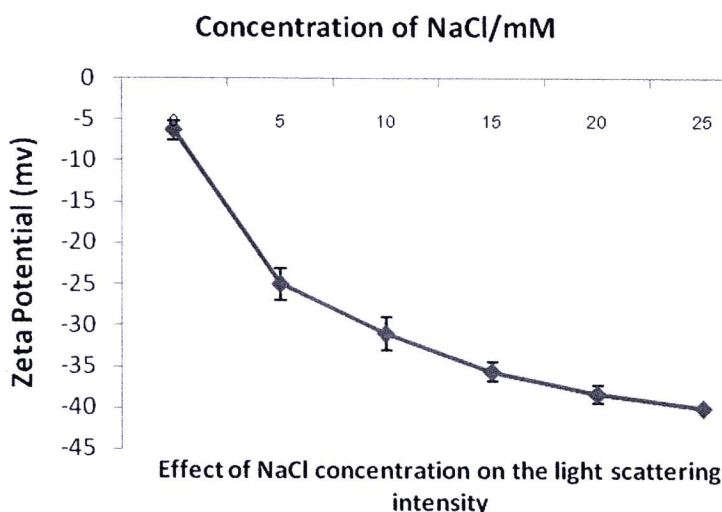
รูปที่4.22 การกระจายตัวของอนุภาค FDS-NPs ในกระบวนการติดแอนติบอดี ภายใต้กล้อง TEM ที่กำลังขยาย 60,000x



รูปที่4.23 การกระจายตัวของอนุภาค FDS-NPs ในกระบวนการติดแอนติบอดี ภายใต้กล้อง SEM ที่กำลังขยาย 25,000x

#### 4.5 การเกาะกลุ่มระหว่างอนุภาคฟลูออเรสเซนต์ซิลิกานาโนโดยใช้ Zeta potential

การตรวจสอบความกระจายตัวของอนุภาค FDS-NPs โดยเทียบจากความเข้มข้นตัวอย่างมาตรฐานกับความเข้มข้นของ NaCl ให้มีความเข้มข้น 5, 10, 15, 20, 25 mM ใน PBS buffer ในทุกสารละลายที่มี PBS buffer เกี่ยวข้อง ผลการวิเคราะห์ด้วยเครื่อง Nano-sizer (Light scattering detector) (รูปที่ 4.24) พบว่าความเข้มข้นตัวอย่างมาตรฐานมีค่า zeta-potential เท่ากับ -6mv อยู่ในช่วง 30 ถึง -30 mV ซึ่งแสดงให้เห็นถึงสารแขวนลอยที่ยังไม่เสถียร (ไม่เกิดแรงผลักระหว่างอนุภาค FDS-NPs) แต่ความเข้มข้นของ NaCl ตั้งแต่ 10 mM ถึง 25 mM มีค่า zeta-potential น้อยกว่า -30 mV ซึ่งค่าดังกล่าวจะสามารถแสดงให้เห็นการเกาะตัวระหว่างอนุภาค FDS-NPs เป็นสารแขวนลอยที่มีความเสถียร (เกิดแรงผลักระหว่างอนุภาค FDS-NPs) ซึ่งค่าที่ให้ผลดีที่สุดคือค่า 10mM NaCl ใน PBS buffer ซึ่งใช้ในการเก็บอนุภาค FDS-NPs ที่ติดแอนติบอดีแล้ว ทำให้ลดการเกาะตัวกันของอนุภาค FDS-NPs ลงได้ และยังสามารถคงการทำงานของแอนติบอดีได้ ส่วนความเข้มข้นมากกว่านี้จะมีผลกระทบต่อประสิทธิภาพการทำงานของแอนติบอดี (Baoan, 2007)

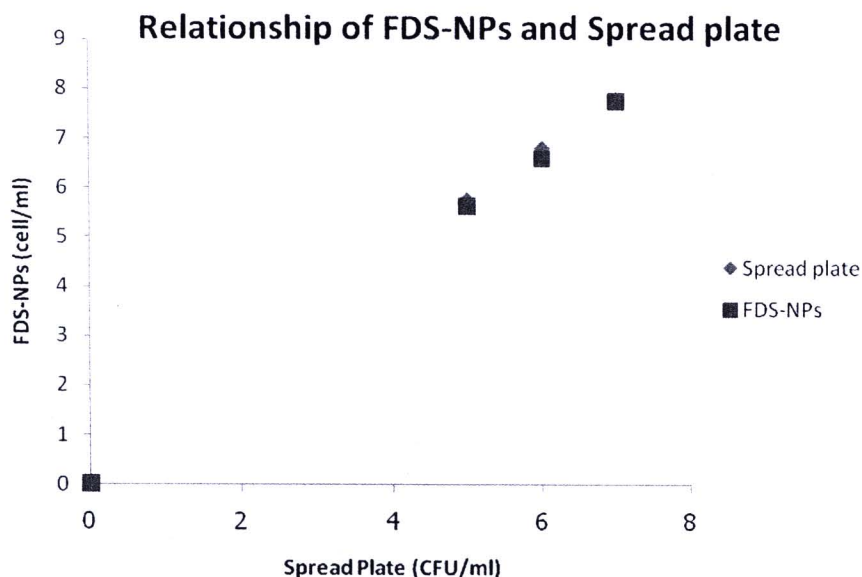


รูปที่ 4.24 แสดงความเข้มข้นของ NaCl ในระดับต่างๆ ตั้งแต่ 5 mM – 25 mM โดยกำหนดที่ 0 mM เป็นความเข้มข้นตัวอย่างมาตรฐาน

## 4.6 การตรวจประสิทธิภาพอนุภาคฟลูออเรสเซนซ์ซิลิกานาโนกับตัวอย่างเชื้อ *C. jejuni* ในห้องปฏิบัติการ

### 4.6.1 การเปรียบเทียบประสิทธิภาพอนุภาคฟลูออเรสเซนซ์ซิลิกานาโน และวิธี spread plate กับตัวอย่างเชื้อ *C. jejuni* บริสุทธิ์ในห้องปฏิบัติการ

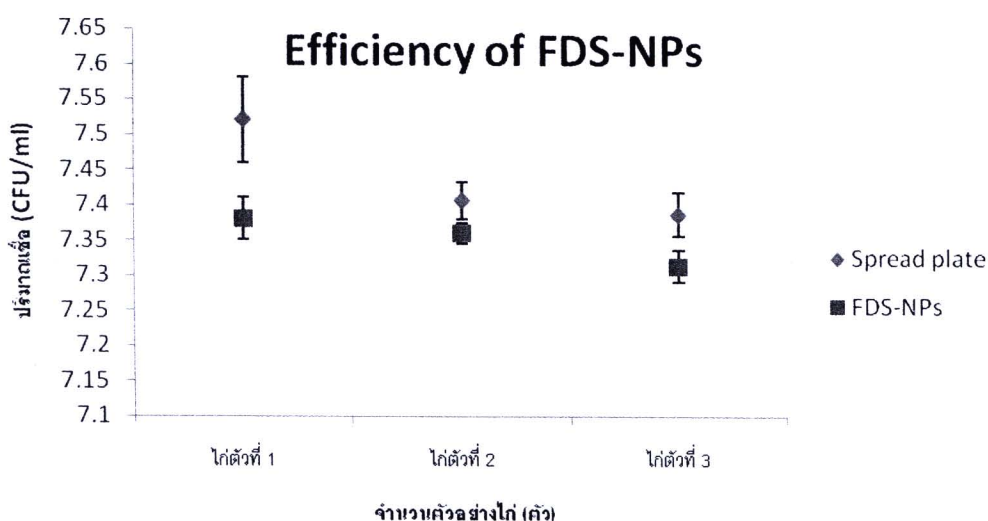
ผลการทดลองเปรียบเทียบประสิทธิภาพอนุภาค FDS-NPs และวิธี Spread plate กับตัวอย่างเชื้อ *C. jejuni* บริสุทธิ์ โดยใช้ปริมาณเชื้อเริ่มต้นประมาณ  $\log 5$  CFU/ml,  $\log 6$  CFU/ml, และ  $\log 7$  CFU/ml ตามลำดับ และทำการตรวจอนุภาค FDS-NPs โดยใช้กล้องจุลทรรศน์ ชนิด Epifluorescence ร่วมกับ Petroff – Hausser counting chamber เพื่อใช้ในการนับเชื้อภายใต้กล้องจุลทรรศน์ พบว่าผลการนับเชื้อวิธี Spread plate ที่  $\log 5$  CFU/ml,  $\log 6$  CFU/ml, และ  $\log 7$  CFU/ml พบเชื้อเฉลี่ยปริมาณ (n=3)  $\log 5.70 \pm 0.05$ ,  $\log 6.72 \pm 0.08$  และ  $\log 7.85 \pm 0.07$  CFU/ml ตามลำดับ ส่วนอนุภาค FDS-NPs ตรวจพบเชื้อเฉลี่ยปริมาณ (n=3)  $\log 5.66 \pm 0.03$ ,  $\log 6.60 \pm 0.03$  และ  $\log 7.76 \pm 0.07$  CFU/ml ตามลำดับ



รูปที่ 4.25 แสดงความสัมพันธ์ระหว่างอนุภาค FDS-NPs และวิธี Spread plate โดยใช้กับตัวอย่าง *C. jejuni* บริสุทธิ์

#### 4.6.2 การเปรียบเทียบประสิทธิภาพอนุภาคฟลูออเรสเซนต์ชนิดกานาโน และวิธี spread plate กับเชื้อ *C. jejuni* ในตัวอย่างไก่ในห้องปฏิบัติการ

ผลการทดลองเปรียบเทียบประสิทธิภาพอนุภาค FDS-NPs และวิธี Spread plate กับเชื้อ *C. jejuni* ในตัวอย่างไก่ โดยทำการทดลองกับตัวอย่างไก่ 3 ตัวอย่าง พบว่าปริมาณเชื้อ *C. jejuni* ในตัวอย่างไก่ จะอยู่ในช่วง  $\log 7.2$  CFU/ml –  $\log 7.6$  CFU/ml จะเห็นว่าผลการทดลองวิธีอนุภาค FDS-NPs และวิธี Spread plate มีแนวโน้มสัมพันธ์กันในตัวอย่างไก่ที่ 2 (รูปที่ 4.26) ส่วนตัวอย่างไก่ที่ 1 และตัวอย่างไก่ที่ 3 มีแนวโน้มที่สัมพันธ์กันในตัวอย่างทั้งสอง แต่วิธีทั้งสองไม่มีความเกี่ยวข้องกัน ซึ่งผลจากรูปที่ 4.26 จะสอดคล้องกับตารางที่ 1 ที่แสดงความสัมพันธ์ในเชิงสถิติ โดยใช้ T-test ในการเปรียบเทียบวิธีอนุภาค FDS-NPs และวิธี Spread plate พบว่าในตัวอย่างไก่ที่ 1 และที่ 3 โดยใช้วิธีทั้งสองแตกต่างกันอย่างมีนัยสำคัญที่ระดับความเชื่อมั่น 95% แต่ในตัวอย่างที่ 2 พบว่าแตกต่างกันอย่างไม่มีนัยสำคัญที่ระดับความเชื่อมั่น 95%



รูปที่ 4.26 แสดงแนวโน้มประสิทธิภาพของ FDS-NPs กับวิธี Spread plate (วิธีดั้งเดิม) ในตัวอย่างไก่ ตารางที่ 4.1 การเปรียบเทียบผลของวิธีที่ใช้ในการวิเคราะห์ (Spread plate และ อนุภาค FDS-NPs) ต่อจำนวน *C. jejuni* ในไก่ตัวที่ 1, 2 และ 3

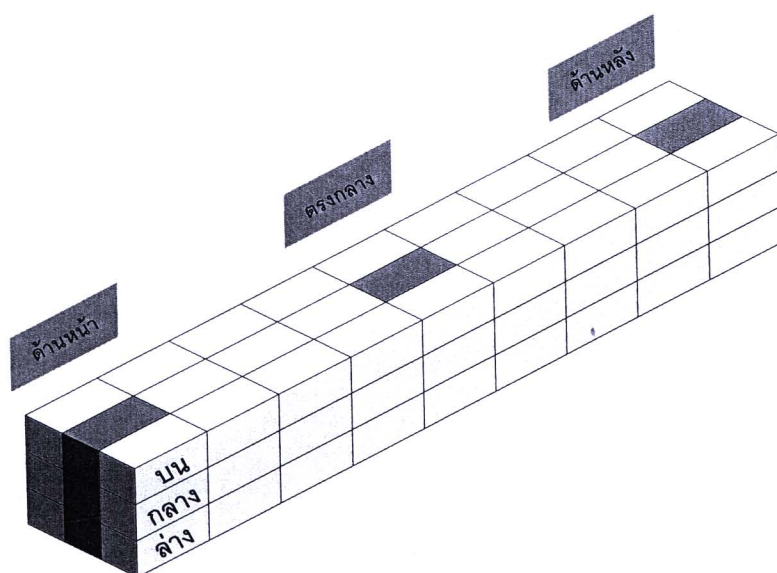
เทคนิค	จำนวน <i>C. jejuni</i> (log cfu/g)		
	ไก่ตัวที่ 1	ไก่ตัวที่ 2	ไก่ตัวที่ 3
Spread plate	7.52 <sup>a</sup> ± 0.03	7.40 <sup>a</sup> ± 0.02	7.38 <sup>a</sup> ± 0.02
FDS-NPs	7.38 <sup>b</sup> ± 0.06	7.36 <sup>a</sup> ± 0.02	7.31 <sup>b</sup> ± 0.03

\* ตัวอักษรที่แตกต่างกันในแนวตั้งแสดงถึงความแตกต่างอย่างมีนัยสำคัญ ( $p \leq 0.05$ )

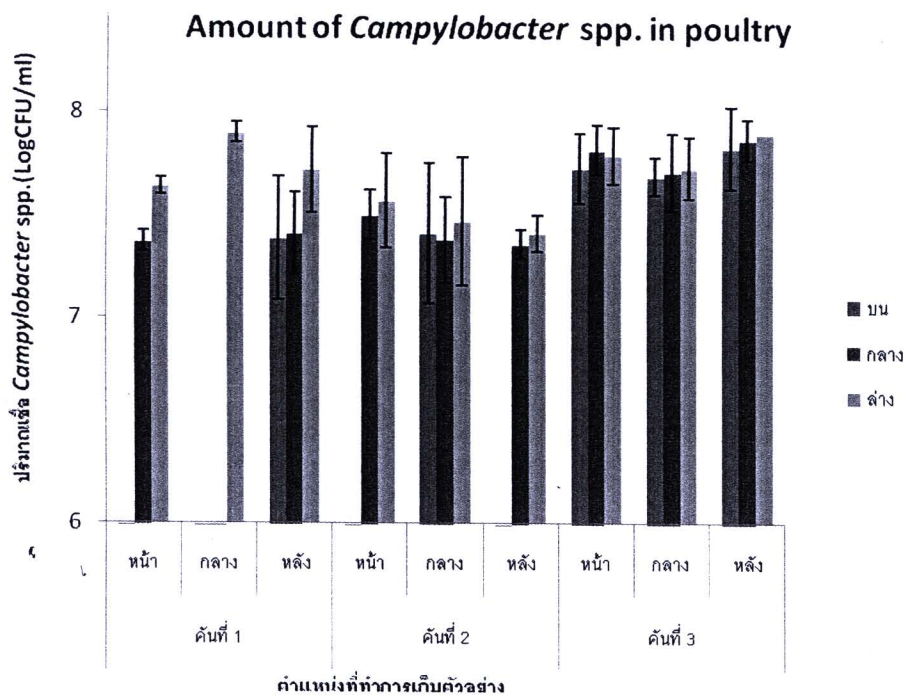
## 4.7 การตรวจประสิทธิภาพอนุภาคฟลูออเรสเซนซ์ซิติคานาโนกับเชื้อ *C. jejuni* ในตัวอย่างไก่ในโรงงานอุตสาหกรรม

### 4.7.1 การตรวจประสิทธิภาพอนุภาคฟลูออเรสเซนซ์ซิติคานาโนกับเชื้อ *Campylobacter* spp. ในตัวอย่างไก่

จากการเก็บตัวอย่างไก่ (cloacal swab) จากโรงงานอุตสาหกรรมบนรถบรรทุกไก่ โดยทำการเก็บตัวอย่างคันละ 9 จุด คือ บน, กลาง, ล่าง, หน้า, กลาง และหลัง (แนวตั้ง และแนวนอน) ของรถบรรทุกไก่ ทั้งหมด 3 คัน (รูปที่ 4.27) โดยมีความต้องการที่จะจัดเรียงรถบรรทุกไก่อ่อน-หลังเข้าสู่กระบวนการผลิต พบว่าปริมาณเชื้อ *Campylobacter* spp. ในไก่อ่อนเข้าสู่กระบวนการผลิตมีปริมาณสูงในตำแหน่งด้านล่างของรถในแต่ละคัน ส่วนด้านบน และด้านกลางของรถจะพบปริมาณเชื้อไม่สูงมากในบางคัน ซึ่งอาจเป็นเพราะว่าในขณะที่บรรจุ หรือขนส่งไก่อ่อน ไก่ด้านบนอุจจาระลงมาสู่ด้านล่างเป็นจำนวนมากทำให้ไก่ได้รับเชื้อ *Campylobacter* spp. ในปริมาณที่สูงกว่าตำแหน่งอื่นๆ ซึ่งจากรูปที่ 4.28 พบว่าการจัดลำดับของรถบรรทุกไก่ ควรจัดให้คันที่ 1 เข้าสู่กระบวนการผลิตก่อน เพราะจากปริมาณเชื้อที่พบ มีปริมาณที่น้อยกว่ารถอีกสองคันที่เหลือ แล้วหลังจากนั้นนำรถคันที่ 2 และ 3 ตามลำดับ จึงสามารถลดการปนเปื้อนจากที่มีความเข้มข้นของปริมาณเชื้อ *Campylobacter* spp. ที่มากสู่ปริมาณความเข้มข้นของเชื้อ *Campylobacter* spp. ที่มีปริมาณน้อยได้

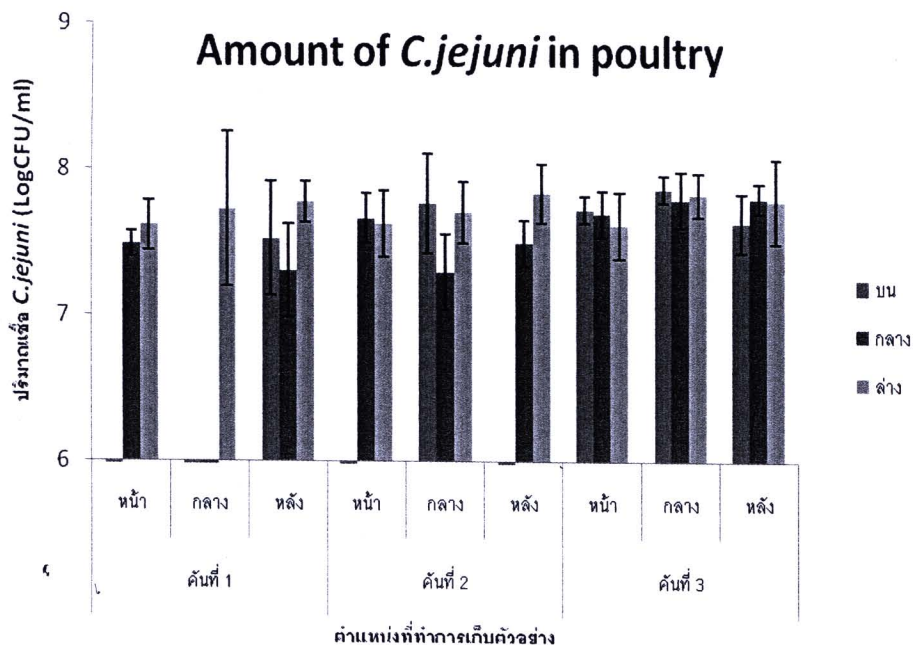


รูปที่ 4.27 แบบจำลองของรถบรรทุก ที่ทำการเก็บตัวอย่างไก่ (สีแดง: ตำแหน่งบน, กลาง และล่าง ส่วนสีฟ้า: ตำแหน่งหน้า, กลาง และหลัง)



รูปที่ 4.28 ปริมาณเชื้อ *Campylobacter* spp. (LogCFU/ml) ในแต่ละตำแหน่งของรถบรรทุก

และหลังจากนั้นทำการแยกเชื้อที่สนใจคือ *C. jejuni* ออกจาก *Campylobacter* spp. เพื่อต้องศึกษาปริมาณเชื้อ *C. jejuni* ที่ได้จากไก่ก่อนเข้าสู่การผลิตจริง พบว่าปริมาณเชื้อ *C. jejuni* มีทิศทางไปในทางเดียวกับ *Campylobacter* spp. ซึ่งจะมีอัตราส่วน *Campylobacter* spp./*C. jejuni* เท่ากับ 0.94 จะพบว่ามีความสูงใกล้เคียงกันมาก และในตำแหน่งด้านล่างของรถบรรทุก ของทุกคันพบว่ามีความเข้มข้น *C. jejuni* ในปริมาณมากเช่นกัน (รูปที่ 4.29)

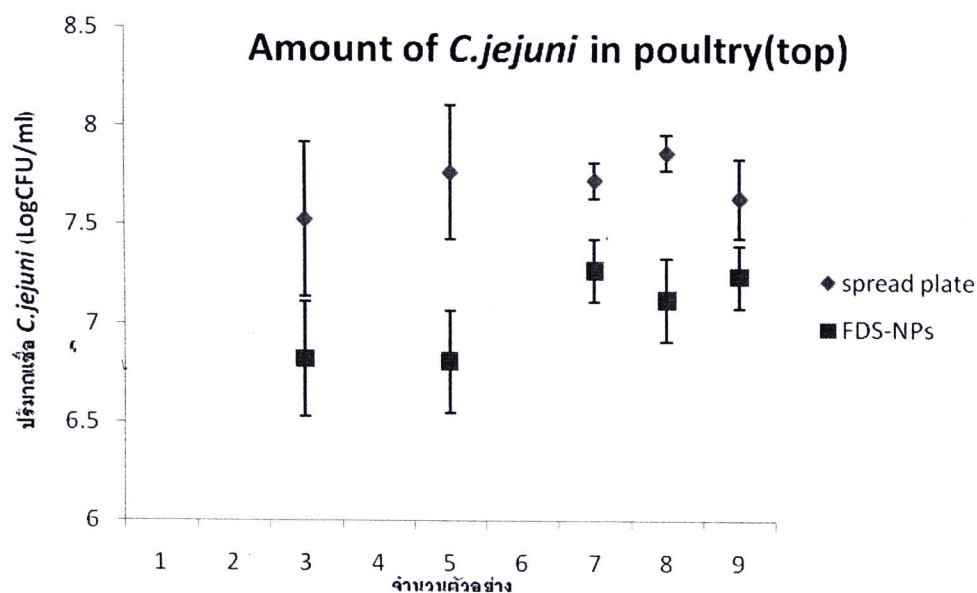


รูปที่ 4.29 แสดงปริมาณเชื้อ *Campylobacter jejuni* (LogCFU/ml) ในแต่ละตำแหน่งของรถบรรทุก

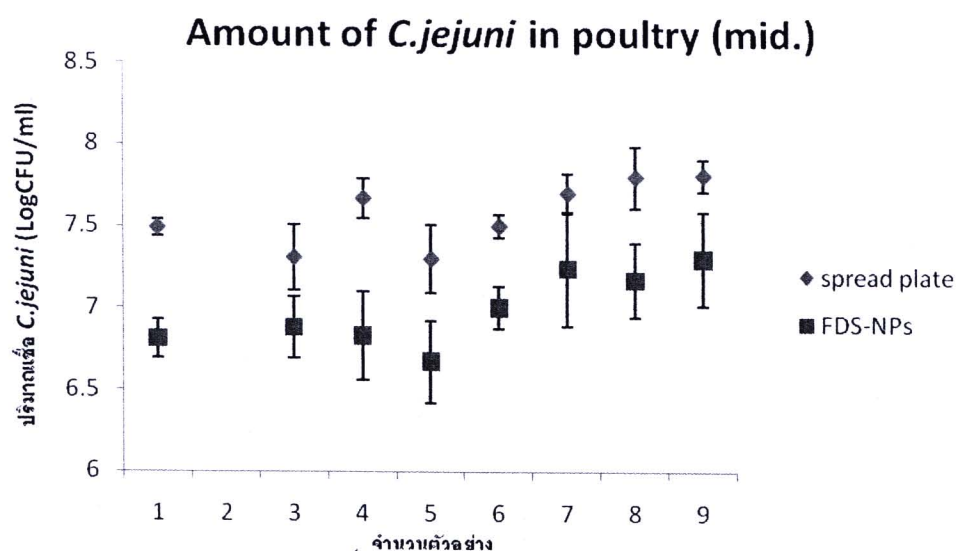
#### 4.7.2 การเปรียบเทียบประสิทธิภาพอนุภาคฟลูออเรสเซนต์ซิลิกานาโน และวิธี spread plate กับเชื้อ *C. jejuni* ในตัวอย่างไก่ในโรงงานอุตสาหกรรม

จากผลการนับเชื้อ *C. jejuni* ในตำแหน่ง บน, กลาง, ล่าง และหน้า, กลาง, หลัง ของรถบรรทุกไก่อ่จะสามารถแยก หรือประเมินในแต่ละตำแหน่งจำนวนเฉลี่ยของเชื้อ *C. jejuni* (CFU/ml) ในแต่ละตำแหน่ง ในส่วนของตำแหน่งหน้า กลาง และหลังของรถบรรทุกทั้ง 3 นั้น ไม่มีความเชื่อมโยง หรือไม่มีความเกี่ยวข้องกัน เป็นเพราะว่าในตำแหน่งทั้ง 3 มีการปนเปื้อนข้ามจากอุจจาระไก่ในแต่ละตำแหน่งแตกต่างกันไม่มากนัก ซึ่งอาจจะพบในตำแหน่งส่วนล่างเท่านั้น ส่วนในตำแหน่ง บน กลาง และล่างของรถบรรทุกทั้ง 3 คันนั้น แสดงให้เห็นถึงมีแนวโน้ม หรือมีความเกี่ยวข้องไปในทิศทางเดียวกัน คือจะพบปริมาณเชื้อ *C. jejuni* มากในส่วนกลาง และล่างของรถบรรทุกทั้ง 3 คัน ตำแหน่งของไก่ (บน กลาง และล่าง) มีผลต่อการปนเปื้อนข้ามของเชื้อ *C. jejuni* จึงนำไปสู่การเปรียบเทียบประสิทธิภาพอนุภาค FDS-NPs และวิธี spread plate กับเชื้อ *C. jejuni* ในตัวอย่างไก่ในโรงงานอุตสาหกรรม โดยทำการเปรียบเทียบตำแหน่งด้านบน, กลาง และล่างของรถบรรทุก และทำการตรวจอนุภาคฟลูออเรสเซนต์ซิลิกานาโน โดยใช้กล้องจุลทรรศน์ ชนิด Epifluorescence ร่วมกับ Petroff – Hausser counting chamber เพื่อใช้ทำการนับเชื้อภายใต้กล้องจุลทรรศน์ (รูปที่ 4.30) พบว่าวิธีอนุภาค FDS-NPs มีประสิทธิภาพสามารถตรวจหาเชื้อ *C. jejuni* ในไก่อ่ด้านบนของรถบรรทุก อยู่ที่ค่าเฉลี่ยประมาณร้อยละ 91.4 เมื่อเทียบกับวิธี spread plate ส่วนในตำแหน่งกลาง (รูปที่ 4.31) ของรถบรรทุกพบประสิทธิภาพตรวจหาเชื้อ *C. jejuni* ของวิธีอนุภาค FDS-NPs อยู่ที่ค่าเฉลี่ยประมาณร้อยละ 92.3 และในส่วนตำแหน่งด้านล่าง (รูปที่ 4.32) ของรถบรรทุกพบปริมาณเชื้อ *C. jejuni* ของวิธีอนุภาค

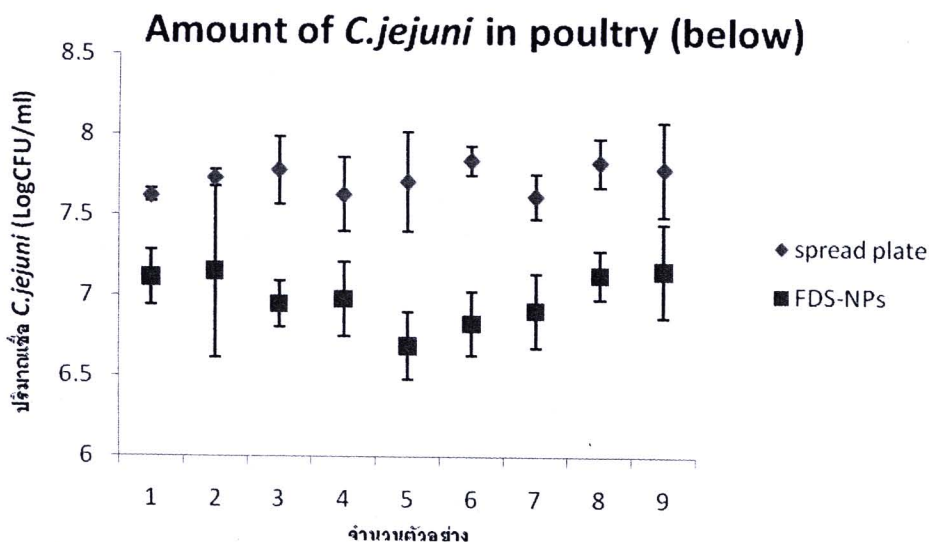
FDS-NPs อยู่ที่ค่าเฉลี่ยประมาณร้อยละ 90.4 จากผลที่ได้จะแสดงให้เห็นว่าประสิทธิภาพวิธีอนุภาค FDS-NPs ลดลงเมื่อเทียบกับการตรวจเชื้อ *C. jejuni* ที่บริสุทธิ์ เป็นผลมาจากในตัวอย่างไก่ มีทั้งปริมาณโปรตีน, คาร์โบไฮเดรต และไขมันต่างๆ เป็นจำนวนมากไปบดบัง หรือขัดขวางอนุภาค FDS-NPs จึงทำให้การเกิดแสง และทำให้ประสิทธิภาพของแอนติบอดีลดลงได้



รูปที่ 4.30 แสดงปริมาณเชื้อ *Campylobacter jejuni* (LogCFU/ml) ในตำแหน่งด้านบนของรถบรรทุกไก่ก่อนเข้าสู่กระบวนการผลิต

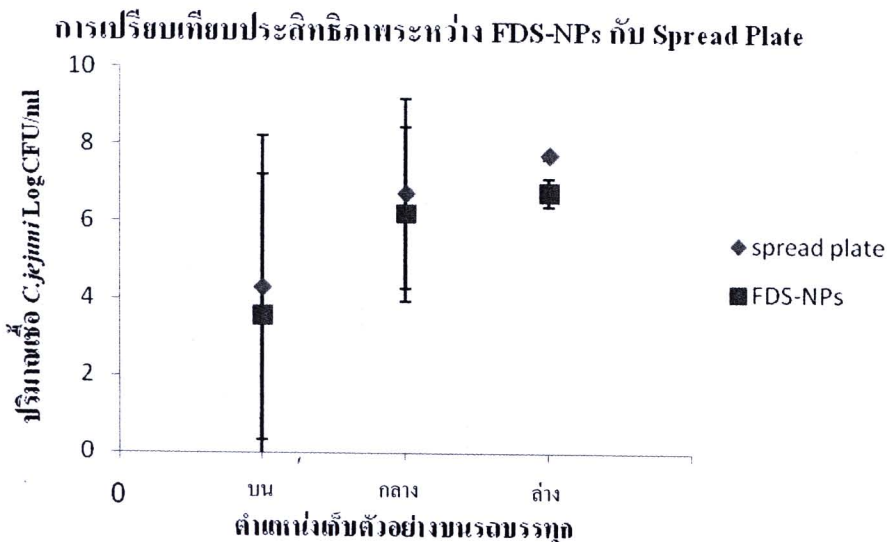


รูปที่ 4.31 ปริมาณเชื้อ *Campylobacter jejuni* (LogCFU/ml) ในตำแหน่งตรงกลางของรถบรรทุกไก่ก่อนเข้าสู่กระบวนการผลิต



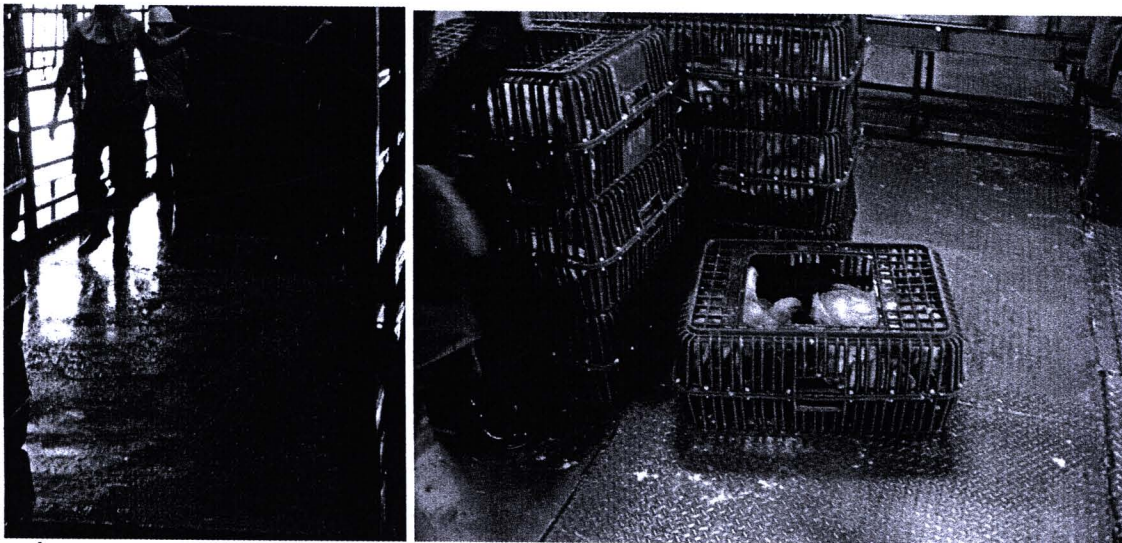
รูปที่ 4.32 ปริมาณเชื้อ *Campylobacter jejuni* (LogCFU/ml) ในตำแหน่งด้านล่างของรถบรรทุกไก่ ก่อนเข้าสู่กระบวนการผลิต

จากการทดลองทั้ง 3 ตำแหน่งบนรถบรรทุก (บน กลาง และล่าง) ผลที่ได้นำมาวิเคราะห์ประสิทธิภาพของอนุภาค FDS-NPs และวิธี spread plate (รูปที่ 4.33) พบว่าในตำแหน่งบน และกลาง ไม่มีความแตกต่างกันระหว่างในทั้ง 2 วิธี แต่ในตำแหน่งด้านล่าง พบว่ามีความแตกต่างกัน ซึ่งอาจเป็นเพราะว่าประสิทธิภาพการจับเชื้อของอนุภาค FDS-NPs ลดลง และมีปริมาณโปรตีน, คาร์โบไฮเดรต และไขมันต่างๆ เป็นจำนวนมากในอุจจาระไก่

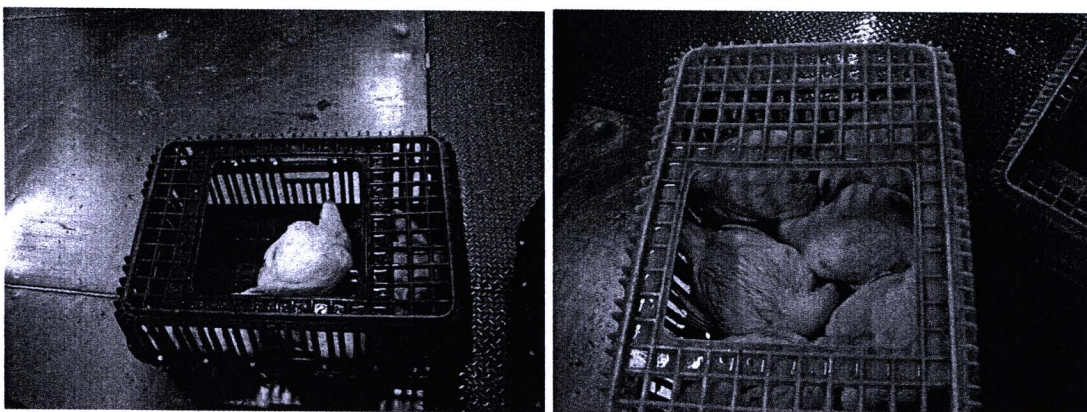


รูปที่ 4.33 การเปรียบเทียบประสิทธิภาพระหว่างอนุภาค FDS-NPs และวิธี spread plate ในตำแหน่งบน กลาง และล่างของรถบรรทุก

จากผลการทดลองที่ได้ทำการศึกษามาพบว่า ในกระบวนการเปรียบเทียบประสิทธิภาพอนุภาค FDS-NPs และวิธี spread plate กับเชื้อ *C. jejuni* ในตัวอย่างไก่ภายในโรงงานอุตสาหกรรมมีแนวโน้มจะพบเชื้อ *C. jejuni* ปริมาณมากในด้านล่างของรถบรรทุก (รูปที่ 4.34) ซึ่งผลการทดลองดังกล่าวมีความสอดคล้องกับการที่ได้พบอุจจาระไก่ในปริมาณมากบนพื้นของรถบรรทุก และในส่วนของตะกร้าบรรจุไก่ (6ตัว/ตะกร้า) ที่มีปริมาณอุจจาระไก่ปนเปื้อนอยู่ในส่วนด้านบนของรถบรรทุก ซึ่งไม่มีสิ่งสกปรก หรืออุจจาระไก่มาปนเปื้อนจึงพบปริมาณเชื่อน้อยกว่าด้านล่าง (รูปที่ 4.35)

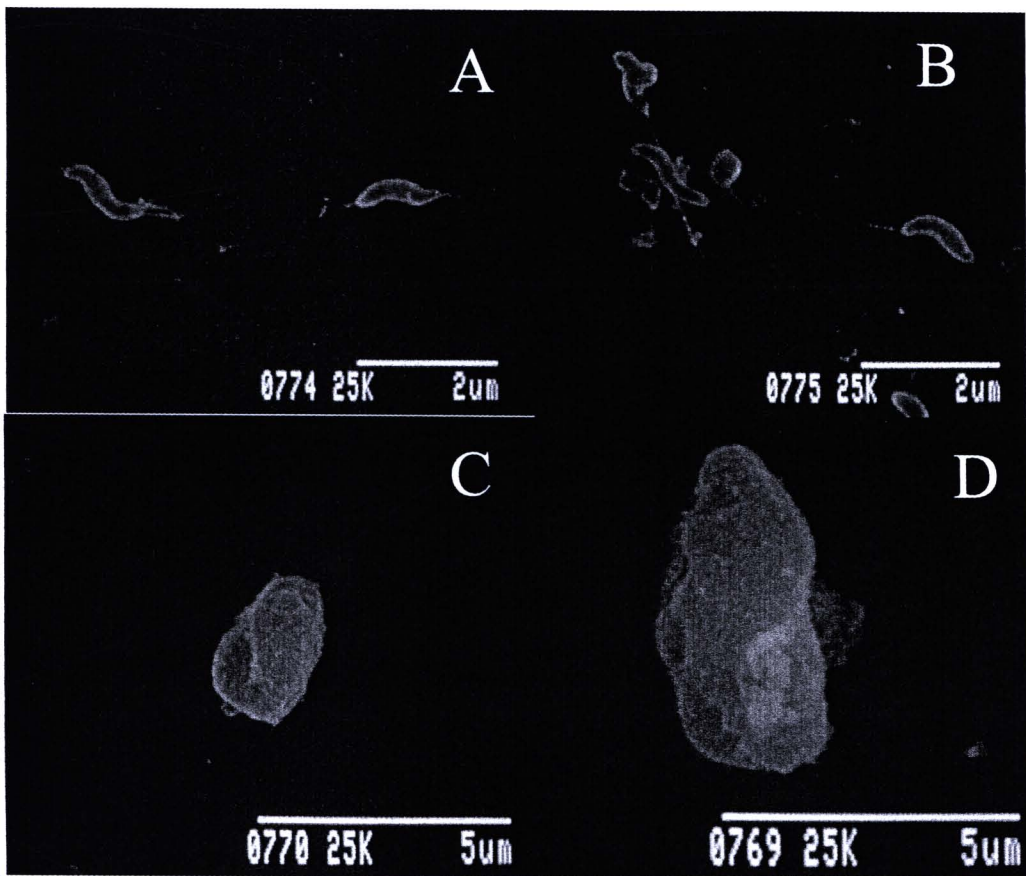


รูปที่ 4.34 ตัวไก่ และตะกร้าบรรจุไก่ที่อยู่ด้านล่างของรถบรรทุก มีอุจจาระบนพื้นรถบรรทุกและบริเวณขอบตะกร้าบรรจุไก่ในปริมาณมาก



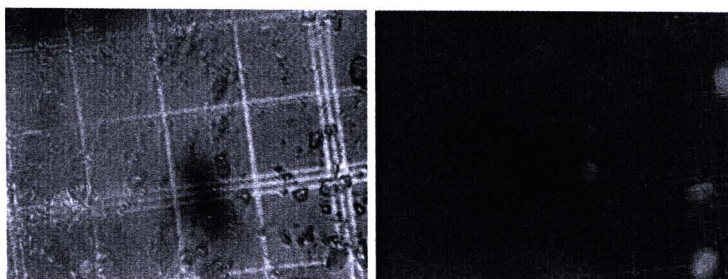
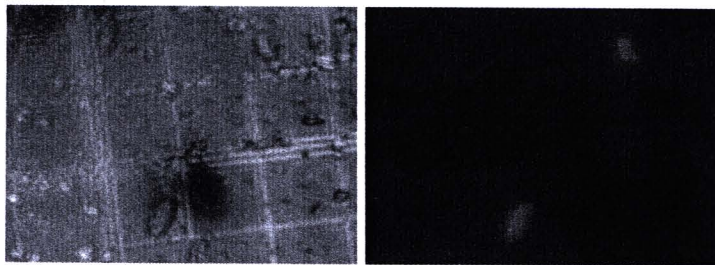
รูปที่ 4.35 ตัวไก่ และตะกร้าบรรจุอยู่ด้านบนของรถบรรทุก มีความสะอาด ปราศจากการปนเปื้อนจากอุจจาระไก่

จากการเก็บตัวอย่างจากไก่อ่ (cloacal swab) โดยทำการศึกษาจากการจับกันของอนุภาค FDS-NPs ที่มีแอนติบอดีที่จำเพาะต่อเชื้อ *C. jejuni* กับเซลล์ของเชื้อ *C. jejuni* ภายใต้กล้อง Scanning electron microscope (SEM) พบว่าเซลล์ของเชื้อ *C. jejuni* ที่ไม่มีอนุภาค FDS-NPs เกาะอยู่ลักษณะของเซลล์จะมีรูปร่างเป็นเกลียว (Helix) (รูปที่ 4.36 A, B) มีการกระจายตัวของอนุภาค FDS-NPs อย่างสม่ำเสมอดีในการจับบนผิวของเชื้อ *C. jejuni* ภายใต้กล้อง SEM ที่กำลังขยาย 25,000x ซึ่งเป็นการเปรียบเทียบระหว่างอนุภาค FDS-NPs บนผิวเชื้อ *C. jejuni* กับเซลล์ของเชื้อ *C. jejuni* ได้ชัดเจน (รูปที่ 4.36 C, D)

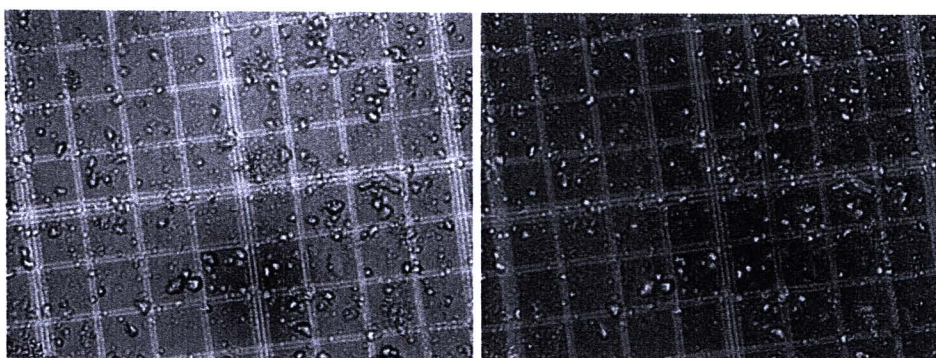
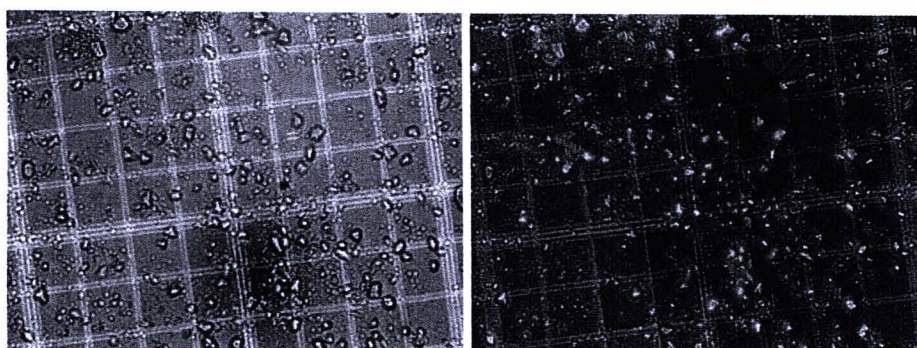


รูปที่ 4.36 เชื้อ *C. jejuni* บริสุทธิ์ (AและB) และอนุภาค FDS-NPs (C และD) ที่จับอยู่บนเชื้อ *C. jejuni* ภายใต้กล้อง SEM

ส่วนผลการเปรียบเทียบประสิทธิภาพอนุภาค FDS-NPs กับเชื้อ *C. jejuni* ภายใต้กล้องจุลทรรศน์ ชนิด Epifluorescence ร่วมกับ Petroff – Hausser counting chamber พบว่ามีความจำเพาะกับเชื้อ *C. jejuni* พอสมควร ซึ่งสามารถแสดงให้เห็นภายใต้กำลังขยาย 300x และ 600x เท่า (รูปที่ 4.37-4.38) พบว่าอนุภาค FDS-NPs สามารถมีความจำเพาะกับ *C. jejuni* และมีบางส่วนที่ถูกขัดขวางโดยโมเลกุลต่างๆ ภายในอุจจาระไก่ แต่จะไม่เห็นใน mode phase contrast ซึ่งแสดงให้เห็นอนุภาค FDS-NPs ที่ไปจำเพาะปริมาณที่น้อยกว่าเชื้อเป้าหมาย (*C. jejuni*)



รูปที่ 4.37 ความจำเพาะระหว่างอนุภาค FDS-NPs กับ *C. jejuni* ภาพได้กล้องจุลทรรศน์ชนิด Epifluorescence ร่วมกับ Petroff – Hausser counting chamber ที่กำลังขยาย 600x



รูปที่ 4.38 ความจำเพาะระหว่างอนุภาค FDS-NPs กับ *C. jejuni* ภาพได้กล้องจุลทรรศน์ชนิด Epifluorescence ร่วมกับ Petroff – Hausser counting chamber ที่กำลังขยาย 300x

จากรูปที่ 4.37-4.38 แสดงถึงความจำเพาะอนุภาค FDS-NPs กับ *C. jejuni* ที่กำลังขยาย 300x และ 600x พบว่าที่กำลังขยาย 600x สามารถแสดงความจำเพาะได้ชัดเจน และไม่พบอนุภาค FDS-NPs ที่เกิดการเกาะกลุ่มกัน (false positive) เป็นเพราะว่า Petroff – Hausser counting chamber มีความลึกประมาณ 0.2mm ทำให้ผู้ใช้กล้องจุลทรรศน์ชนิด Epifluorescence สามารถไปโฟกัสอนุภาค FDS-NPs กับ *C. jejuni* จึงทำให้ตำแหน่งที่อยู่ลึกกว่าไม่สามารถมองเห็นได้ และทำให้เห็นอนุภาค FDS-NPs กับ *C. jejuni* ใหญ่ขึ้นกว่าปกติ